

Thứ kỉ Tôa sôan: **Đoàn Thị Yến** Ông
Thư từ, bài Việt xin gửi theo dia chí:
Tôa sôan Tập chí Họa học
Tổng 3, nhà A16, Viên Hán lâm Khoa học và Công nghệ Việt Nam
Số 18, Hoàng Quốc Việt, Cầu Giấy, Hà Nội
Điện thoại: +84 24 3 7917412
Email: tchh@vjs.ac.vn; tchh62@vjs.ac.vn
Website: www.vjc.wiley-vch.de

- Bài không dâng không trả lại ban thao.

Aanh và 2 số tiêng Viêt.

Tập chí xuất bản mỗi năm một tập 6 số. Năm 2018, sẽ xuất bản toàn vân 4 số tiêng

ban thao.

Để hiện Lien lạc, người viết cần ghi rõ dia chí có quan, dia chí email, số điện thoai có

quan và số điện thoai nha rieng (nếu có) của tacgia Lien he vào phía dưới gốc trai của

ban thao.

Phai viết tết cả tacgia, không sử dụng ký hiệu... hoặc „và“ có phong suy/et al.”

Tacgia nua cai can viet tat ten, co dau chay sau tu viet tat, ho can viet day du.

Tacgia Viat Nam can viet day du theo thu tu ho, ten dem va ten (khong viet tat),

bang ca hai thu tieung Viet va tieung Aanh.

ti den 300 tu), co the dai het trang thu nhat cua bai bao. Cac bai deu phai co dau de

tieung Aanh cua bai viet bang tieung Viet phai neu duoc day du noi dung cua bai (tu 250

co tom tat noi dung bang tieung Viet, de phia tren bai. Phan tom tat noi dung bang

thi dich sang tieung Viet, thuong he Slavo thi phien am ra chuyen La tinh. Bai ghi danh phai

truong hop nam de tronh nhoi don. Neu tai Lien them kham kao thuong he chuyen truong hinh

vien, luon an): ten tacgia, ten de tai/luon an, luon van, noi bao ve, nam; tronh moi

ten tacgia, ten bao cao, ten hoi ngehi va tuyen tap, trang, nam; neu la de tai (hoac luon

gia, ten sach, trang, nha xuat ban, lan xuat ban, nam xuat ban; neu la bao cao hoi ngehi;

ten tacgia, ten sach, trang, nha xuat ban, tai bai, ten tap chí, nam, tap, so, trang; neu la sach: ten tac

theo thu tu: ten tacgia, ten bai, ten tap chí, nam, tap, so, trang; neu la sach: ten tac

va cong thuc phai viet ro rang va chinh xac. Tai Lien them kham kao, neu la tap chí can ghi

Ban thao ghi deu Toca son can duoc danh may ro rang, hinh ve deat dung cho, ky hieu

triinh cong bo duoi dang Thong bao noga se duoc rut noga thihi gian cho dang.

le do Hoi dong Bieu tap yeu cau. Trong moi bai co khong qua 5 hinh ve. Nhung cong

trang in, ke ca hinh ve, bang so liieu va tai Lien them kham kao, tru nhung truong hop noga

Do su han che cua khoun kho, Tap chí co the dang nhung bai khong dai qua 5

bang tieung Viet va tieung Aanh.

nhehe sinh hoc ... cua cac nha khoa hoc tronh va noga noga. Tap chí duoc xuat ban

Lac giia gii bai dang chuy:

TẠP CHÍ HỌA HỌC

VIỆN HÀN LÂM KHOA HỌC VÀ CÔNG NGHỆ VIỆT NAM
VIETNAM ACADEMY OF SCIENCE AND TECHNOLOGY

TẠP CHÍ HÓA HỌC

VIETNAM JOURNAL OF CHEMISTRY

ISSN(Print) 0866-7144
ISSN(Online) 2572-8288

Tập 57, số 6E_{1,2}, tháng 12 - 2019

HỘI NGHỊ HÓA HỌC TOÀN QUỐC LẦN THỨ 8

“HÓA HỌC VIỆT NAM VÌ SỰ PHÁT TRIỂN BỀN VỮNG”

In tại Công ty Cổ phần Khoa học và Công nghệ Hoàng Quốc Việt, 18 Hoàng Quốc Việt, Cầu Giấy, Hà Nội.
Chỉ số: 12873. In xong và nộp lưu chiểu tháng 12/2019.

Study on fabrication and colloidal stability of magnetic cobalt ferrite-based nanofluids for magnetic resonance T₂-imaging (MRI)

Le The Tam^{1*}, Nguyen Thi Ngoc Linh², Nguyen Hoa Du¹, Phan Thi Hong Tuyet¹, Ho Dinh Quang¹, Le Thi Thu Hiep¹, Nguyen Thien Vuong^{3,4}, Le Trong Lu^{3,4}, Tran Dai Lam^{3,4}

¹Vinh University, 182 Le Duan, Vinh City, Viet Nam

²Thai Nguyen University of Sciences, Viet Nam

³Institute for Tropical Technology, Vietnam Academy of Science and Technology, 18 Hoang Quoc Viet, Cau Giay, Hanoi, Viet Nam

⁴Graduate University of Science and Technology, Vietnam Academy of Science and Technology, 18 Hoang Quoc Viet, Cau Giay, Hanoi, Viet Nam

Received August 30, 2019; Accepted for publication November 30, 2019

Abstract

Magnetic cobalt ferrite (CoFe_2O_4) nanoparticles (NPs) have been synthesized using the thermal decomposition method. The critical parameters such as surfactant concentration and OA/OLA ratio have been intensively investigated in detail to optimize conditions for the synthesis of the magnetic nanoparticles. Especially, after coating nanoparticles with the PMAO, the surface of CoFe_2O_4 becomes hydrophilic and well-dispersed in water. Furthermore, the obtained nanofluids are still stable over a wide range of salt concentration (from 50 to 220 mM). The spin-spin (T_2) relaxation times of the nuclear spins (hydrogen protons) in aqueous solutions of various concentrations of coated ferrite nanoparticles were determined using a nuclear magnetic resonance (NMR) spectrometer. The MRI image was detected with higher contrast in comparison with the control sample. The MRI images of in-vitro samples taken by the T_2 status which shows that our coated ferrite nanoparticles can be used as a T_2 MRI contrast agent. These findings suggest the potential application of PMAO-coated magnetic CoFe_2O_4 NPs in the biomedical discipline.

Keywords. Magnetic resonance imaging (MRI), colloidal stability, thermal decomposition, magnetic liquid, ligand exchange.

1. INTRODUCTION

Recent applications of magnetic nanoparticles in biomedical applications, especially in imaging diagnostics using MRI Magnetic Resonance Imaging engineering have attracted the attention of scientists around the world.^[1-4] Magnetic resonance imaging (MRI) contrast media are used to improve visualization of abnormal structures or lesions in various parts of the body. The most common MRI contrast media are based on paramagnetic compounds that contain metal ions from the transition or lanthanide series of the periodic table such as manganese, iron, and gadolinium.^[1,5-8] These metal ions have a large magnetic moment and can shorten the longitudinal (T_1) and transverse (T_2) relaxation times of protons in the water of tissues. Currently in imaging diagnostics using MRI magnetic resonance imaging, T_1 contrast agents have become a traditional commodity, which is a complex of paramagnetic ions

with a large torque value like Gd^{3+} (7 unpaired electrons). These Gd^{3+} ions are combined with molecules such as DTPA (diethylenetriamine penta acetic acid) and create Gd-DTPA chelate round complex structures.^[7-9] During the recovery process, the interaction between the magnetic moment of the proton and the magnetic moment of the paramagnetic ions causes the T_1 time to be reduced, so the recovery rate R_1 increases. The concentration of agents is different in each cell tissue region, thus providing an effective contrasting on MRI images. However, since early 2006 evidence has accumulated that some gadolinium-based contrast agents, particularly gadodiamide (Omniscan®, GE Healthcare, Chalfont St. Giles, UK), may cause a potentially devastating or even fatal scleroderma-like, fibrosing condition called nephrogenic systemic fibrosis (NSF) in patients with renal failure.^[10-13] Recently it has been shown that gadopentetate dimeglumine (Magnevist®, Bayer Schering, Berlin, Germany) may

also trigger NSF, but not with the same high frequency as gadodiamide. In the USA cases of NSF have been reported after exposure to gadoversetamide (OptiMARK®, Covidien, St. Louis, USA) [12]. Recently, researches applying magnetic nanoparticles as MRI image contrast materials have been published in many documents as an attempt to develop new contrast agents with lower toxicity.

Some recent researches have shown that cobalt ferrite (CoFe_2O_4) (CF) has a high-saturated magnetic moment and is a potential materials for MRI magnetic resonance imaging.^[1,14-16] Furthermore, this materials is superparamagnetic and stability and high biological compatibility, so there are many prospects for application in medicine and biology. However, CoFe_2O_4 nanoparticles synthesis methods in previous studies are limited in controlling the size and shape of the particle. In this research, CoFe_2O_4 nanoparticles were synthesized by decomposing Fe(III) and Co(II) acetylacetone in organic solvents at high temperatures. Particle size and shape control is done by changing the surface active-agent concentration. The particles after synthesis are transferred from organic solvents phase to water using poly (maleic anhydride-alt-1-octadecene) (PMAO) as a phase transition agent. The structural, morphological and magnetic properties, as well as the durability of magnetic liquid samples in different physiological pH and salt concentrations, as well as the ability to become imaging contrast inhibitor in MRI imaging techniques that were surveyed and discussed.

2. EXPERIMENTAL

2.1. Chemicals

The original chemicals include: iron (III) acetylacetone ($\text{Fe}(\text{acac})_3$) 99.99 %, cobalt (II) acetylacetone ($\text{Co}(\text{acac})_2$) 99.99 %, 1-octadecene (OCD, 99 %), absolute ethanol ($\geq 96\%$), hexane (99 %), chloroform ($\geq 99\%$), oleic acid (OA) 99 %, oleylamine (OLA) 70 %, 1-octadecanol (OCD-ol) 95 % and poly(maleic anhydride-alt-1-octadecene) (PMAO) were purchased from Sigma-Aldrich Ltd, Singapore. All the materials were used as received without further purification.

2.2. Synthesis of CoFe_2O_4

$\text{CoFe}_2\text{O}_4@$ OA/OLA MNPs were synthesized using thermal decomposition method in organic solvents at high temperature. In this process, 7.5 mmol of Co (II) acetylacetone ($\text{Co}(\text{acac})_2$) (1.92 g, 99.9 %), 15 mmol of Fe (III) acetylacetone ($\text{Fe}(\text{acac})_3$, 5.32 g), 40 mmol OCD-ol (10.8 g) were used as reactants.

Simultaneously give a specific volume of OA, OLA surface active-agent and octadecene solvent in the mixture. OA - OLA surface active-agent concentration was taken equally and surveyed in the experiments 135 mM, 201 mM, 310 mM, and 450 mM (denoted as CF1, CF2, CF3 and CF4, respectively). The reaction mixture was magnetically stirred and degassed at room temperature for at least 30 minutes. Then, the sample was heated to 100 °C and its temperature was maintained for 30 min to remove water. Next, the mixture was heated to 200 °C and held for another 30 min. Finally, the reaction mixture was heated to 310 °C with a heating rate of about 10 °C/min and held for 60 min. Then, the solution was cooled naturally to room temperature and washed with ethanol and centrifuged before dispersing in n-hexane solvent. The samples were then dried to determine the structural characteristics, particle size, and magnetic properties. It is observed that the particles range in size from 7 nm to 14 nm depending on the concentration of the reagents used. The samples were labeled as CF1 (6.2 ± 1.7 nm), CF2 (8.4 ± 0.8 nm), CF3 (10.8 ± 2.8 nm), and CF4 (11.8 ± 3.4 nm) according to the particle size.

2.3. Transferring CoFe_2O_4 MNPs into the water by using PMAO

The phase transition process of CoFe_2O_4 nanoparticles from hydrophobic to hydrophilic is similar to the phase transition of Fe_3O_4 nanoparticles by the author Kannan M. Krishnan *et al.*^[17] Specifically, 50 mg of cleaned CoFe_2O_4 samples are dispersed in 1 ml of chloroform, ultrasonic vibration for 3 to 5 minutes to ensure the particles are dissolved (solution A). Add 1 g poly (maleic anhydride-alt-1-octadecene) (PMAO) to 10 ml of chloroform, ultrasonic vibration for 3 to 5 minutes to disperse all of PMAO (solution B). Slowly add magnetic of solution A into solution B and ultrasonic vibration for 5 to 10 minutes to ensure that the solution is well mixed, without sedimentation. The resulting product is kept at room temperature and stirred magnetically for clean chloroform. Then add 12 ml of NaOH 1 M solution to continue stirring, we obtain samples that are enable to disperse in water.

2.4. Characterization of magnetic nanoparticles

The phase structures of the samples were characterized by XRD using diffractometer D8 Advance Bruker with $\text{CuK}\alpha$ radiation ($\lambda = 1.5406 \text{ \AA}$). The morphological properties (size and shape) of the particles were obtained using a JEOL JEM-1010 TEM. The average size and the size distribution of

nanoparticles were analyzed using ImageJ software to examine the particle size distribution. The shell – core bonds were analyzed by Fourier transform infrared spectroscopy FT-IR (Nicolet 6700). The saturation magnetization of these samples at room temperature was measured up to the highest magnetic field of 10 kOe using a vibrating sample magnetometer (VSM). The size distribution and stability of the magnetic fluids were examined using a Zetasizer (Horiba SZ-100Z system).

2.5. Contrast enhancement in MRI

The MRI experiments were performed using a Siemens MR spectrometer with a magnetic field intensity of 1.5 T. The following parameters were adopted in data acquisition: T_2 -weighted images; echo time (TE) = 34; 57 ms, repetition time (TR) = 4000 ms, field of view (FOV) = 160×160 mm, matrix = 390×280, slice thickness = 3.0 mm and flip angle 90°. The signal intensity of the samples was measured and the experiment was carried for the different concentrations of CoFe_2O_4 nanoparticles in different values of echo time TE.

3. RESULTS AND DISCUSSION

3.1. Morphology, particle size and magnetic properties of the $\text{CoFe}_2\text{O}_4@\text{OA/OLA MNPs}$

Figure 1 indicates TEM image and CoFe_2O_4 particle size distribution chart when OA and OLA concentrations change. The results showed that the

particle size increased significantly when the surface active-agent concentration increased (Fig. 1e). When the concentration of each type of OA and OLA increases from 135-310 mM, the particle size increases from 6.2 to 10.8 nm but the particle shape is almost unchanged (Fig. 1a, b). When OA and OLA concentrations are 450 mM, we see a significant change in the shape and size of CoFe_2O_4 particles (Fig. 1d). In this case, the size reaches 11.8 ± 3.4 nm, the particle has a different shape like cubic, spherical, triangular, while the other samples have spherical, clear grain boundaries, no there is a connection (Fig. 1d).

The size increase of CoFe_2O_4 particles may be due to the formation of an oleate complex part of cobalt and iron in the synthesis process. Cobalt (II) and iron (III) acetylacetone are decomposed at about 190 °C,^[18-19] however, if they form complexes with OA for metal oleates, their decomposition temperature increases about 300 °C.^[19] When OLA and OA concentrations are low, the main source of iron and cobalt in the form of acetylacetone will quickly be decomposed at a temperature 230-250 °C forming crystallites. This will reduce the source of iron and cobalt to feed the growth phase of these crystallites, so the collected nanoparticles will be smaller. When OLA and OA concentrations are high, iron(III) and cobalt(II) mainly form complexes with OA forming oleate complexes. At high decomposition temperatures of oleate complexes, sources of iron and cobalt are available in solution to facilitate the growth of crystallines. The result is nanoparticles with a larger size.

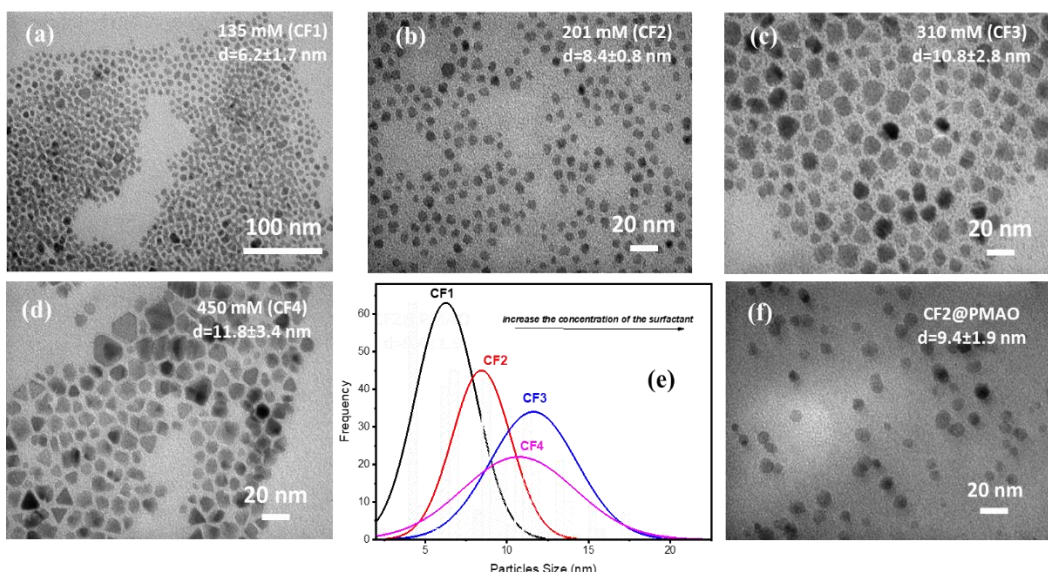


Figure 1: The typical TEM photographs (a, b, c, d) and (e) their corresponding size distribution histograms of the OA/OLA-coated CoFe_2O_4 NPs were synthesized at different concentration of the surfactant. TEM images of the PMAO-encapsulated CoFe_2O_4 nanoparticles (f)

The results of particle size dependence on OA, OLA surface active-agent concentrations in this research show that particle size increases with increasing OA and OLA concentrations. This is explained when the solution contains a large OA concentration, the main complex generation between the precursors ($\text{Co}(\text{acac})_2$ and $\text{Fe}(\text{acac})_3$) with OA in the solution to form very stable oleates of Co and Fe in the reaction process. Due to the high decomposition temperature of this complex, Co and Fe sources in the solution will be excess to provide the particle development stage resulting in larger particles.

To determine the crystal phase structure of the synthesized samples, we conducted X-ray diffraction

analysis. Samples are washed after synthesis and to dry naturally before measuring X-ray diffraction. It can be seen that sample have diffraction peak of CoFe_2O_4 spinel phase such as: (220), (311), (400), (511) and (440). In which the edge (311) has the strongest intensity. It can be seen that under different conditions no edge of other phases appears such as iron(II) oxide, iron(III) oxide or cobalt oxide(II). This proves that synthetic materials are monophasic. Also, the large intensity of diffraction picks indicates that the samples obtained have a high degree of crystal. X-ray diffraction diagram with strong noise background can be attributed to the contribution of the surfactant layer OLA and OA on the surface of CoFe_2O_4 particles (Fig. 2).

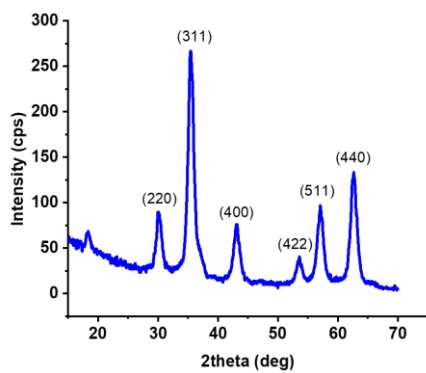


Figure 2: Powder X-ray diffractions of CoFe_2O_4 nanoparticles (CF2)

To test the magnetic properties of synthesized CoFe_2O_4 nanoparticles with different sizes, we measured the hysteresis curve at an indoor temperature in the external magnetic field from -10 kOe to 10 kOe (Fig. 3). The results showed that all samples reached saturation state (M_s), M_s values of samples reached 35.27-55.67 emu/g and they have superparamagnetic properties at indoor temperature (coercive force and residual magnet are nearly zero). Besides, M_s value of the samples increased as the particle size increases. This value is significantly higher than most synthetic samples by other methods such as emulsion ultrasound or oxalate method, however smaller than the bulk model (80 emu/g). The change of the saturated degree magnetic (reduction) in nanoscale compared with the bulk model is explained by the magnetic disorder phenomenon at the surface of the particle.

3.2. Dispersing and stability of $\text{CoFe}_2\text{O}_4@\text{OA/OLA MNPs}$ phase transfer in water

Mechanism of particle phase transition from

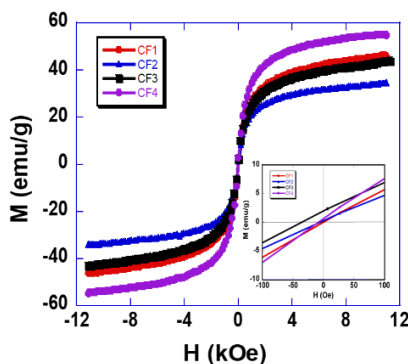


Figure 3: $M(H)$ curves measured for CoFe_2O_4 samples. The smaller figure is hysteresis loop at low magnetic field

hydrophobic to hydrophilic by PMAO can be described as follows: PMAO is a polymer consisting of two parts, hydrophobic part is a hydrocarbon chain that helps PMAO molecules adhering to particles through hydrophobic – hydrophobic connection with OA and OLA molecules on the particle surface, hydrophilic parts contain anhydride radicals helping to disperse particles in water environment (Fig. 4a).

Figure 4 shown that CoFe_2O_4 particles before PMAO coating is dispersed very well in hexane and completely undispersed in water (Fig. 4b,c). After covering the surface PMAO of CoFe_2O_4 particles becomes hydrophilic and well dispersed in water, the particles are completely undispersed in n-hexane (Fig. 4d). Thus, it can be determined that the polymer layer has covered the surface of the particles and helps them stabilize and disperse well in water. Besides, the responding ability on durability in the body physiological environment is also one of the requirements for magnetic nanoparticles for biomedical applications. Because the salt concentration in the body remains in the range of 165-180 mM with a pH ≈ 7.4, we conducted a survey of the strength of the magnetic liquid in physiological

salt with salt concentration of 50 mM, 150 mM, 200 mM, 220 mM and 250 mM (Fig. 4f).

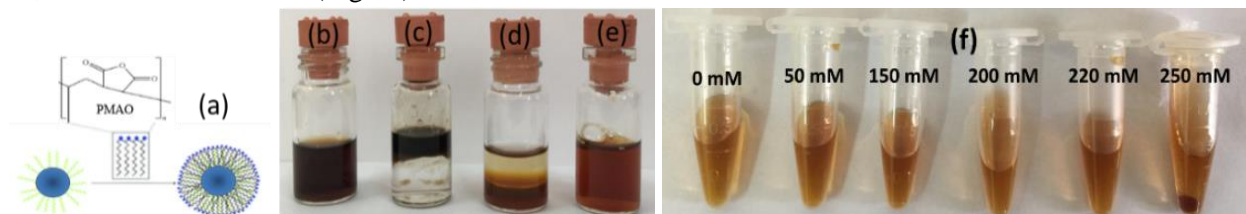


Figure 4: The reaction scheme of encapsulation of CoFe₂O₄ NPs, coated with oleic acid and oleylamine, with poly(maleic anhydride-alt-1-octadecene) through hydrophobic interactions (a); CoFe₂O₄ nanoparticle before and after encapsulating PMAO in hexane (b), in mixture of hexane and water (c), CoFe₂O₄ nanoparticle encapsulated by PMAO in mixture of hexane in water (d), in water (f) and Colloidal stability in water of the nanoparticles at different NaCl concentrations

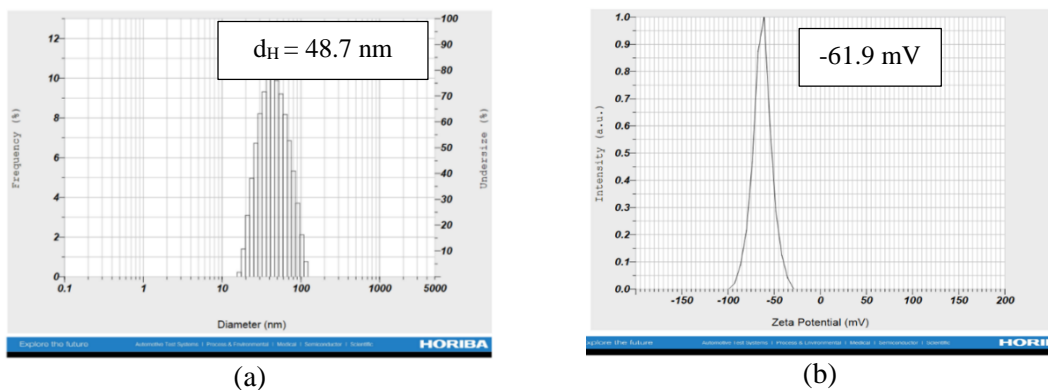


Figure 5: The hydrodynamic size distribution (a) and Z-potential of the PMAO-coated CoFe₂O₄ NPs in water

The results showed that, in the NaCl concentration 220 mM or less, PMAO-coated CoFe₂O₄ particles maintained good dispersion capacity in the water and was relatively stable. When the salt concentration reaches 250 mM in the solution starting adhesion between the particles (Fig. 4f). To determine the particle size and durability of magnetic fluids we use DLS measurement technique. From figure 5a it can be seen that the diagram has only a single peak (at 48.7 nm) with the width of the narrow bottom indicating that the particles obtained are relatively uniform in size with average size after covering about 29.8 nm. Furthermore, magnetic fluids are highly durable with zeta potential values -61.9 mV (Fig. 5b).

3.3. Contrast enhancement in MRI

The superparamagnetic CoFe₂O₄ nanoparticles induce a decrease in transverse relaxation time T₂, leading to an increase in contrast of the MRI images. To evaluate the role of magnetic nanoparticles as a contrast agent, MRI imaging was carried out in defined protocol and in different concentration of nanoparticles.

Figure 6 presented T2-weighted MR images of samples: the last one is H₂O (concentration of iron C = 0 µg/mL); the next five samples C1, C2, C3, C4, and C5 are at concentrations of 15, 30, 45, 60 and 90 µg iron/ml, respectively. We can easily see considerable contrast even when the difference in concentration is very small. As shown in figure 6, it can be concluded that the increase in the concentration of nanoparticles results in a decrease in transverse relaxation time T₂, thus leading to MR signal enhancement. T2-weighted images depend on TR (repetition time, with TR > 3000 ms) and TE (echo time, with TE > 50 ms). For a systematic

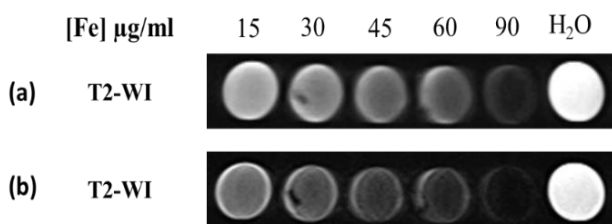


Figure 6: T2-weighted MRI images for six sample tubes with different concentrations of CoFe₂O₄ nanoparticles for the different values of echo time TE = 34 ms (a) and TE = 57 ms (b)

evaluation of the T2-weighted MRI images, the experiment was carried for different values of TE. Figure 6 shows the T2-weighted MRI images for the different concentrations of CoFe₂O₄ nanoparticles in different values of echo time TE. This figure indicates that MR signal intensity increases with an increase in TE value up to 57 ms. The results *in-vitro* experimentation show that our contrast agent of PMAO coated nanoparticles can be used as a T₂ agent in MRI.

4. CONCLUSION

In this paper, CoFe₂O₄ nanoparticles coated with biocompatible poly (maleic anhydride-alt-1-octadecene) (PMAO) were synthesized for use as an MRI (magnetic resonance imaging) contrast agent. Cobalt ferrite nanoparticles with the size between 6.2 and 11.8 nm are successfully synthesized by the thermal decomposition method in organic solvents. Research results show that OA and OLA surface active-agents play a very important role in controlling the size and shape of magnetic nanoparticles. Magnetic fluids of CoFe₂O₄ nanoparticles coated with PMAO, well dispersed and durable in the physiological environment. The average diameter of the coated particles was 9.4±1.9 nm. Additionally, high-resolution magnetic resonance images with improved transverse relaxation T₂ were observed when using magnetite-based ferrofluid for *in-vitro* and test. From the results obtained above, it shows that the magnetic fluid system on CoFe₂O₄ base coated with PMAO is very potential in imaging diagnosis by MRI magnetic resonance imaging technique.

Acknowledgment. This work is financially supported by MOET grant # B2019-TDV-03 (Le The Tam).

REFERENCES

- N. Lee, D. Yoo, D. Ling, M. H. Cho, T. Hyeon, and J. Cheon. Iron Oxide Based Nanoparticles for Multimodal Imaging and Magnetoresponsive Therapy, *Chemical Reviews*, **2015**, 115(19), 10637-10689.
- G. Wang, W. Gao, X. Zhang, X. Mei. Au Nanocage Functionalized with Ultra-small Fe₃O₄ Nanoparticles for Targeting T₁-T₂ Dual MRI and CT Imaging of Tumor, *Sci. Rep.*, **2016**, 6(3), 1-10.
- G. Wang, X. Zhang, A. Skallberg, Y. Liu, Z. Hu, X. Mei, K. Uvdal. One-step synthesis of water-dispersible ultra-small Fe₃O₄ nanoparticles as contrast agents for T₁ and T₂ magnetic resonance imaging, *Nanoscale*, **2014**, 6, 2953-2963.
- X. Meng, H. C. Seton, L. T. Lu, I. A. Prior, N. T. K. Thanh, B. Song. Magnetic CoPt nanoparticles as MRI contrast agent for transplanted neural stem cells detection, *Nanoscale*, **2011**, 3(3), 977-984.
- Y. K. Peng, S. C. E. Tsang, P. T. Chou. Chemical design of nanoprobes for T1-weighted magnetic resonance imaging, *Mater. Today*, **2016**, 19(6), 336-348.
- M. Yang, L. Gao, K. Liu, C. Luo, Y. Wang, L. Yu, H. Peng, W. Zhang. Characterization of Fe₃O₄/SiO₂/Gd₂O(CO₃)₂ core/shell/shell nanoparticles as T1 and T2 dual mode MRI contrast agent, *Talanta*, **2015**, 131, 661-665.
- P. Caravan, J. J. Ellison, T. J. McMurry, R. B. Lauffer. Gadolinium(III) Chelates as MRI Contrast Agents: Structure, Dynamics, and Applications, *Chem. Rev.*, **1999**, 99(9), 2293-352.
- P. Hermann, J. Kotek, V. Kubíček, and I. Lukeš. Gadolinium(III) complexes as MRI contrast agents: Ligand design and properties of the complexes, *Dalt. Trans.*, **2008**, 9226(23), 3027-3047.
- L. Gao, J. Zhou1, JingYu, Q. Li, X. Liu, L. Sun, T. Peng, J. Wang, J. Zhu, J. Sun, W. Lu, L. Yu, Z. Yan, Y. Wang. A Novel Gd-DTPA-conjugated Poly(L-Y 3-glutamyl-glutamine)-paclitaxel Polymeric Delivery System for Tumor Theranostics, *Sci. Rep.*, **2017**, 7(1), 1-13.
- A. Khurana, V. M. Runge, J. F. Greene, A. E. Nickel. Nephrogenic Systemic Fibrosis: A Review of 6 Cases Temporally Related to Gadodiamide Injection (Omniscan), *Investigative Radiology*, **2007**, 42(2), 139-145.
- P. Marckmann, L. Skov, K. Rossen, A. Dupont, M. B. Damholt, J. G. Heaf, H. S. Thomsen. Nephrogenic Systemic Fibrosis: Suspected Causative Role of Gadodiamide Used for Contrast-Enhanced Magnetic Resonance Imaging, *Journal of the American Society of Nephrology*, **2006**, 17(9), 2359-2362.
- H. S. Thomsen, P. Marckmann, V. B. Logager. Nephrogenic systemic fibrosis (NSF): a late adverse reaction to some of the gadolinium-based contrast agents, *Cancer Imaging*, **2007**, 7, 130-137.
- P. Marckmann, L. Skov, K. Rossen, J. G. Heaf, H. S. Thomsen. Case-control study of gadodiamide-related nephrogenic systemic fibrosis, *Nephrol Dial Transplant*, **2007**, 22(11), 3174-3178.
- D. Piché, I. Tavernaro, J. Fleddermann, J.G. Lozano, A. Varambhia, M.L. Maguire, M. Koch, T. Ukai, A.J.H. Rodríguez, L. Jones, F. Dillon, I. R. Molina, M. Mitutani, E.R. G. Dalmau, T. Mackawa, P.D. Nellist, A. Kraegeloh, N. Grobert. Targeted T₁ Magnetic Resonance Imaging Contrast Enhancement with Extraordinarily Small CoFe₂O₄ Nanoparticles, *ACS Appl. Mater. Interfaces*, **2019**, 11(7), 6724-6740.
- H. H. M. Joshi, Y. P. Lin, M. Aslam, P. V. Prasad, E. A. Schultz-Sikma, R. Edelman, T. Meade, V. P. Dravid. Effects of Shape and Size of Cobalt Ferrite Nanostructures on Their MRI Contrast and Thermal Activation, *J. Phys. Chem. C*, **2009**, 113(41), 17761-17767.
- I. Galarreta, M. Insausti, I. Gil de Muro, I. Ruiz de Larramendi, L. Lezama. Exploring Reaction

- Conditions to Improve the Magnetic Response of Cobalt-Doped Ferrite Nanoparticles, *Nanomaterials*, **2018**, 8(2), 1-12.
17. A. Tomitaka, H. Arami, S. Gandhi, K.M. Krishnan. Lactoferrin conjugated iron oxide nanoparticles for targeting brain glioma cells in magnetic particle imaging, *Nanoscale*, **2015**, 7(40), 16890-16898.
18. R.G. Charles, M.A. Pawlikow. Comparative heat stabilities of some metal acetylacetone chelates, *J. Phys. Chem.*, **1958**, 62(4), 440-444.
19. N. Bao, L. Shen, Y. Wang, P. Padhan, A. Gupta. A Facile Thermolysis Route to Monodisperse Ferrite Nanocrystals, *J. Am. Chem. Soc.*, **2007**, 129(41), 12374-12375.

Corresponding author: Le The Tam

School of Chemistry, Biology and Environment, Vinh University
Vinh City, Nghe An Province
E-mail: tamlt@vinhuni.edu.vn
Tel.: +84- 989640960.

VIỆN HÀN LÂM KHOA HỌC VÀ CÔNG NGHỆ VIỆT NAM
Tạp chí Hóa học, T. 57, số 6E12 - 2019

MỤC LỤC
TABLE OF CONTENTS

	Trang
1 Nghiên cứu quy trình tổng hợp chất trung gian methyl 3-(N-hydroxycarbamimidoyl) benzoate làm nguyên liệu tổng hợp thuốc ataluren (<i>translarna</i>) dùng để điều trị bệnh loạn dưỡng cơ Duchenne.	1
Synthesis of methyl 3-(N-hydroxycarbamimidoyl) benzoate, the key intermediate in the synthesis of the drug ataluren for the treatment of Duchenne muscular dystrophy.	
<i>Trần Đức Quân, Đào Đức Thiện, Nguyễn Thanh Tâm, Nguyễn Thị Hoàng Anh, Trịnh Thị Thúy, Hà Xuân Anh, Giang Thị Kim Liên</i>	
2 Ảnh hưởng của pH dung dịch đến hình thái, cấu trúc và độ bền của vật liệu thép hợp kim cao phủ màng hỗn hợp oxit $\text{SnO}_2\text{-Sb}_2\text{O}_3$.	4
The effects of pH on the morphology, structure and electrochemical durability of high alloy steel electrode materials coated with $\text{SnO}_2\text{-Sb}_2\text{O}_3$ oxide mixture.	
<i>Huỳnh Thu Sương, Nguyễn Quang Bắc, Vũ Thị Tân, La Thế Vinh</i>	
3 Nghiên cứu chế tạo hệ chất dẫn mang thuốc MIL-53(Fe)@5FU hướng ứng dụng trong điều trị ung thư dạ dày.	9
Study on formulation of drug delivery system MIL-53(Fe)@5FU in gastric cancer therapy application orientation.	
<i>Nguyễn Thị Hoài Phương, Lã Đức Dương, Ninh Đức Hà, Trần Văn Chính, Lê Thành Bắc, Nguyễn Quế Châu</i>	
4 Chế tạo và khảo sát tính chất vật liệu cao su nanocomposit trên cơ sở cao su thiên nhiên và một số blend của nó gia cường nanosilica.	14
Preparation and properties characterization of rubber nanocomposites based on natural rubber and its blends reinforced with nanosilica.	
<i>Đỗ Trung Sỹ, Ngô Quang Hiệp, Phạm Công Nguyên, Trần Hữu Quang, Lưu Đức Hùng, Đỗ Quang Minh, Nguyễn Thanh Liêm, Đỗ Quang Kháng</i>	
5 Chế tạo, tính chất vật liệu cao su nanocomposit trên cơ sở blend cao su thiên nhiên/cao su butadien gia cường phối hợp nanosilica, than đen và ống nanocarbon.	20
Preparation and properties of rubber nanocomposites based on natural rubber and butadiene rubber reinforced with nanosilica, carbon black and carbon nanotubes.	
<i>Ngô Quang Hiệp, Phạm Công Nguyên, Trần Hữu Quang, Trần Hữu Huy, Đỗ Trung Sỹ, Phạm Quỳnh Trang, Lương Như Hải, Nguyễn Thanh Liêm, Đỗ Quang Kháng</i>	
6 Nghiên cứu tổng hợp và đặc trưng nano pha tạp $\text{CeO}_2@\text{Nd}^{3+}$.	26
Synthesis and characterization of neodymium oxide doped ceria nanoparticles.	
<i>Lê Hữu Trinh</i>	
7 Nghiên cứu chế tạo một số blend cao su đi từ EPDM.	31
Investigation on fabrication of blends based on EPDM rubber.	
<i>Nguyễn Phạm Duy Linh, Phạm Thế Long, Nguyễn Huy Tùng, Bùi Chương, Nguyễn Thanh Liêm</i>	

8	Nghiên cứu ứng dụng cao su tự nhiên epoxy hóa (ENR) làm chất trợ tương hợp cho blend cao su NR/CIIR.	36
	Using epoxidized natural rubber (ENR) as compatibilizer for natural/chlorinated butyl rubber blend.	
	<i>Nguyễn Huy Tùng, Nguyễn Phạm Duy Linh, Bùi Chương, Nguyễn Thành Liêm</i>	
9	Tổng hợp vật liệu lai ghép g-C ₃ N ₄ /BiVO ₄ có hoạt tính quang xúc tác cao trong vùng ánh sáng khả kiến.	40
	Synthesis of g-C ₃ N ₄ /BiVO ₄ hybrid material with high visible light photocatalytic activity.	
	<i>Mai Hùng Thành Tùng, Bùi Thị Ngọc Trúc, Nguyễn Thị Phương Lê Chi, Hồ Minh Thiện, Nguyễn Thành Việt, Phạm Thành Đồng, Trần Thị Thu Phương, Trần Thị Thu Hiền, Nguyễn Tân Lâm, Nguyễn Thị Diệu Cẩm</i>	
10	Nghiên cứu nâng cao tính chất cơ học và độ bám dính với mành polyeste của blend cao su EPDM/CIIR.	45
	Enhance the mechanical and adhesion properties of EPDM/CIIR rubber blend.	
	<i>Đỗ Quốc Việt, Nguyễn Phạm Duy Linh, Nguyễn Huy Tùng, Bùi Chương, Nguyễn Thành Liêm, Hoàng Như Kha, Nguyễn Minh Trang</i>	
11	Sử dụng (1-butyl 3-methylimidazolium chloride) để chiết sulfate polysaccharide từ loài rong <i>Ulva papenfussii</i> .	50
	Extraction of sulfate polysaccharide from the macroalgae <i>Ulva papenfussii</i> by using (1-butyl 3-methylimidazolium chloride).	
	<i>Trần Thị Thanh Vân, Trần Nguyễn Hà Vy, Nguyễn Thị Thuận, Cao Thị Thúy Hằng, Nguyễn Duy Nhứt, Thành Thị Thu Thủy</i>	
12	Ảnh hưởng của laccol và OELO đến tính chất cơ học của vật liệu polyme trên cơ sở nhựa epoxy Epikote 828, sử dụng chất đóng rắn dietylentriamin.	54
	Effects of laccol and OELO on the mechanical properties of polymer baser on epoxy resin epikote 828 using diethylenetriamine hardener.	
	<i>Đặng Hữu Trung</i>	
13	Nghiên cứu ảnh hưởng của natri silicat đến tính chất bọt chữa cháy tạo màng nước.	59
	Study on the effects of sodium silicate to properties for aqueous film-forming foam concentrate.	
	<i>Nguyễn Thị Ngoan, Lương Như Hải, Đỗ Sơn Hải, Vương Văn Trường, Tô Phúc Du, Trương Thị Thảo, Lê Thị Thuý Hằng, Lê Văn Thủ</i>	
14	Chế biến quặng antimon thành Sb ₂ O ₃ dùng làm nguyên liệu để tổng hợp chất màu vàng vô cơ	64
	Processing of antimony ore to produce Sb ₂ O ₃ using as raw material for synthesis inorganic yellow pigments	
	<i>La Thé Vinh, Nguyễn Quang Bắc, Nguyễn Việt Đức</i>	
15	Tổng hợp, đặc trưng và tính chất hóa lý của các phức chất của Zn(II) với các phối tử Meosalophen.	68
	Synthesis, characterization and physicochemical properties of Zn(II) complexes bearing meosalophen ligands.	
	<i>Nguyễn Quang Trung, Phạm Thị Phương Nam, Đinh Thị Hồng Anh, Nguyễn Văn Tuyến</i>	
16	Nghiên cứu mối quan hệ giữa hoạt tính ức chế enzyme α-glucosidase và cấu trúc của một số hợp chất flavonoid.	74

Study on structure–activity relationship of flavonoid compounds with α -glucosidase inhibitory activity.

Đỗ Văn Nhật Trường, Lê Hữu Thọ, Nguyễn Xuân Hải, Nguyễn Thị Thành Mai

- 17 Đặc trưng và hoạt tính xúc tác của vật liệu ZnO/zeolite 4A trong phản ứng este hóa nhựa thông Việt Nam. 79

Characteristics and catalytic activity of ZnO/zeolite 4A material in the esterification of Vietnam colophony.

Nguyễn Thị Trúc Linh, Lê Thành Đạt, Phan Đình Tuấn

- 18 Tối ưu hóa thành phần của composit (Fe, Cu, Al) oxit/bentonit cho hấp phụ phốt phát trong dung dịch nước sử dụng phương pháp đáp ứng bề mặt. 84

Optimization of composition of (Fe, Cu, Al) oxide/bentonite composite for phosphate adsorption in aqueous solution using surface response methodology.

Phạm Văn Lâm, Nguyễn Bình Dương, Quản Thị Thu Trang

- 19 Các friedelan và glutinan tritecpen từ cây đại cán bidoup *Macrosolen bidopensis* Tagane & V.S. Dang. 89

Friedelane-type and glutinane-type triterpenoids from the whole plant of *macrosolen bidopensis* Tagane & V.S. Dang.

Lê Kiều Hưng, Nguyễn Thế Anh, Phan Nhật Minh, Bùi Trọng Đạt, Ngô Trọng Nghĩa, Đặng Văn Sơn, Mai Đình Trị, Nguyễn Tân Phát

- 20 Các diarylheptanoid và dẫn xuất ellagic acid từ cây đại cán tam sắc *Macrosolen tricolor* (L.) Dans. 93

Diarylheptanoids and ellagic acid derivative from the whole plant of *Macrosolen tricolor* (L.) Dans.

Lê Kiều Hưng, Bùi Thị Kim Ngân, Nguyễn Thị Trang, Phan Nhật Minh, Bùi Trọng Đạt, Ngô Trọng Nghĩa, Đặng Văn Sơn, Mai Đình Trị, Phạm Nguyễn Kim Tuyến, Nguyễn Tân Phát

- 21 Tổng hợp nano Mg(OH)₂ dạng tám dùng ché tạo xốp polyuretan chậm cháy. 97

Preparation of Mg(OH)₂ nano-flakes for flame-retardant polyurethane foam.

Hoàng Mai Hà, Hắc Thị Nhụng

- 22 Đánh giá khả năng hoạt động điện hóa của các dạng tồn tại Cd, Pb trong các môi trường điện li sử dụng mô hình cân bằng hóa học. 103

Assessment of the electrochemical activity of the Cd, Pb existing forms in electrolyte environments using a chemical equilibrium model.

Lê Trường Giang, Nguyễn Thị Liễu

- 23 Ảnh hưởng của nồng độ natri hydroxit đến đặc trưng tính chất tinh bột hạt mít cacboxymetyl. 108

Effect of sodium hydroxide concentration on physicochemical properties of carboxymethyl jackfruit seed starch.

Lê Thị Hồng Thuý, Nguyễn Thành Tùng, Nguyễn Văn Khôi, Lê Nguyễn Phương Thanh, Nguyễn Thị Như, Nguyễn Thị Thảo, Hồ Thị Thu Thảo

- 24 Đặc trưng cấu trúc của polysaccharit chiết tách từ rong lục *Enteromorpha intestinalis*. 113

Structural characteristics of polysaccharide extracted from green seaweed *Enteromorpha intestinalis*.

Quách Thị Minh Thu, Hoàng Trúc Tâm, Đặng Vũ Lương, Nguyễn Quang Tâm, Ngô Văn Quang, Trần Thị Thanh Vân, Hồ Đức Cường, Thành Thị Thu Thủy

25 Sulfat polysaccharit chiết tách từ rong lục chi <i>Cheatomorpha</i> : đặc điểm cấu trúc và hoạt tính chống đông tụ máu. Sulfate polysaccharide extracted from green seaweed <i>Cheatomorpha</i> genus: structure and anticoagulant activity.	117
<i>Quách Thị Minh Thu, Nguyễn Hải Minh, Đỗ Thị Thanh Xuân, Đặng Vũ Lương, Trần Thị Thanh Vân, Nguyễn Thị Nụ, Thành Thị Thu Thủy</i>	
26 Đặc điểm cấu trúc và tính chất gel của polysaccharide chiết từ 02 loài rong đỏ <i>Gracilaria salicornia</i> và <i>Gelidiella acerosa</i> . Structural characteristics and gelling properties of polysaccharides from two red algae species <i>Gracilaria salicornia</i> and <i>Gelidiella acerosa</i> .	121
<i>Trần Thị Thanh Vân, Bùi Thị Mỹ Trâm, Võ Thành Trung, Võ Mai Như Hiếu, Bùi Văn Nguyên, Thành Thị Thu Thủy</i>	
27 Ché tạo và nghiên cứu độ ổn định của hạt nano resveratrol. Preparation and stability study of resveratrol nanoparticles.	125
<i>Hồ Thị Oanh, Hoàng Mai Hà</i>	
28 Đánh giá độc tính cấp, độc tính bán trường diễn và hoạt tính ức chế tăng sinh tế bào bạch cầu tuy xương cáp tính của viên nang thuốc phong tê thấp Bà Giàng. Evaluate the acute toxicity, subchronic toxicity and proliferation inhibition of acute myeloid leukemia cells of rheumatic remedy Ba Giang capsules.	130
<i>Nguyễn Thị Hoàng Anh, Trịnh Thị Thủy, Trần Đức Quân, Đào Đức Thiện, Nguyễn Thanh Tâm, Bá Thị Châm, Hoàng Quốc Vinh, Nguyễn Thị Hà, Nguyễn Thị Liên, Domenico V. Delfino</i>	
29 Bước đầu nghiên cứu tổng hợp (S)-3-hydroxytetrahydrofuran. Preliminary synthesis of (S)-3-hydroxytetrahydrofuran as a key intermediate for chiral building blocks).	136
<i>Nguyễn Thị Ngọc, Chu Hà Phương, Nguyễn Văn Giang, Nguyễn Đình Luyện, Nguyễn Văn Hải</i>	
30 Ảnh hưởng của chất hóa dẻo tới tính chất của màng vật liệu tổ hợp HPMC/Shellac. Effect of plasticizer on properties of composite films from HPMC/Shellac.	140
<i>Phạm Thị Thu Hà, Nguyễn Thị Lương, Hồ Xuân Hương, Nguyễn Văn Khôi, Nguyễn Thanh Tùng</i>	
31 Nghiên cứu đánh giá ảnh hưởng của kích thước xơ dệt đến tính chất của vật liệu polymé composit nền cao su acrylonitril butadien. Investigation on effect of synthetic textile fiber size on properties of polymer composite material based on acrylonitrile butadiene rubber.	146
<i>Lê Thúy Hằng, Đoàn Anh Vũ, Nguyễn Phạm Duy Linh</i>	
32 Nghiên cứu ảnh hưởng của quá trình chức hóa bề mặt carbon xốp lên hiệu suất và đặc tính của sản phẩm trong quá trình tổng hợp nano composite C-CNF. Influence of acidic treatment on carbon felt's surface to performance and characterization of nano composite C-CNF.	151
<i>Dương Thế Hy, Lê Đức Ngưu, Phạm Hữu Linh, Nguyễn Đình Lâm, Trương Hữu Trì</i>	
33 Nghiên cứu tổng hợp các hạt nano coban ferit siêu thuận từ ở nhiệt độ thấp.	158

Preparation of low temperature superparamagnetic cobalt ferrite nanoparticles with hight magnetization.

Duong Hong Quyen, Hoang Thi Kieu Nguyen

- 34 Nghiên cứu tổng hợp và xác định các đặc trưng của nanocomposit giữa alginat và hydroxit cấu trúc lớp kép hướng đến ứng dụng trong vận chuyển thuốc. 162

Synthesis and characterization of nanocomposite of alginate and layered double hydroxide toward the application in drug delivery system.

Phan Thi Ngoc Bich, Quan Thi Thu Trang, Nguyen Binh Duong

- 35 Ảnh hưởng của số chu kỳ thám trong hệ hắc ín-toluene đến cấu trúc và tính chất của vật liệu composit cacbon-cacbon. 168

Effect of coal tar pitch infiltration process cycle times to structure and characters of carbon-carbon composite.

Đào Thé Nam, Nguyễn Trung Dũng, Nguyễn Văn Thảo, Đoàn Tuấn Anh,
Phạm Tuấn Anh, Vũ Minh Thành

- 36 Nghiên cứu chế tạo và so sánh hoạt tính của vật liệu xúc tác dị đa axit được cố định trên các vật liệu vô cơ mao quản Al-SBA-15 và ZSM-5/SBA-15 trong phản ứng tổng hợp chất tạo hương fructon. 174

Study on the preparation and catalytic activity comparison of 12-phosphotungstic acid immobilized on Al-SBA-15 and ZSM-5/SBA-15 materials in the synthesis of fructose fragrance.

Trương Thị Hạnh, Đỗ Văn Cường, Đỗ Ngọc Mai, Nguyễn Thị Nhiệm, Đoàn Thị Hải,
Trần Quang Hưng, Lê Thị Hoài Nam, Trần Quang Vinh

- 37 Nghiên cứu chế tạo xúc tác HPA cố định trên chất mang Al-SBA-15 được trao đổi ion với Cs⁺ cho phản ứng tổng hợp chất tạo hương fructon. 179

Preparation of 12-phosphotungstic acid catalyst immobilized on cesium ion-exchanged Al-SBA-15 for fructose fragrance synthesis.

Đỗ Văn Cường, Trương Thị Hạnh, Đỗ Ngọc Mai, Nguyễn Thị Nhiệm, Đoàn Thị Hải,
Lê Thị Hoài Nam, Trần Quang Vinh

- 38 Điều chế nanocomposite PANi@hydrotalcite bằng phương pháp gián tiếp dựa trên đặc tính tái cấu trúc của hydrotalcite. 184

Preparation of nanocomposite PANi@hydrotalcite using indirect method via re-structuring of hydrotalcite.

Trần Bội An, Nguyễn Thị Thái Hiền, Nguyễn Lê Thành Hoài, Đinh Thị Hoài Linh,
Phạm Thành Thảo, Tô Thị Xuân Hằng

- 39 Nghiên cứu ảnh hưởng của thời gian biến tính ống nano cacbon đến tính chất cơ lý vật liệu epoxy composite. 188

The effects modification time of carbon nanotubes on physico-mechanical properties of epoxy composite materials.

Phạm Quang Thuần, Nguyễn Văn Cảnh, Nguyễn Mạnh Tường

- 40 Tổng hợp, nghiên cứu cấu tạo và thăm dò hoạt tính kháng nấm, kháng khuẩn của hợp chất *N,N*-diethylbenzamidine chứa hợp phần L-alanine methyl ester. 192

Synthesis, structural study and antifungal, antibacterial activities of L-alanine methyl ester derivative of *N,N*-diethylbenzamidine.

Lê Cảnh Định, Châu Tân Vinh, Trần Đình Thịnh, Phạm Chiến Thắng, Nguyễn Lê Tuấn

41	Nghiên cứu điều chế MgO kích thước nanomet từ quặng serpentin và axit HCl. Study on preparation of nano - sized MgO from serpentine ore and HCl acid.	197
	<i>Lê Xuân Thành, Trần Thị Anh, Bùi Thị Văn Anh, Vũ Đình Tiến, Nguyễn Thị Thanh, Võ Văn Tân</i>	
42	Nghiên cứu tạo lớp phủ geomet từ bột hợp kim Zn-Al và đặc điểm tính chất của nó. Preparation of Geomet coating from flake Zn-Al alloy powder and its characterials.	203
	<i>Lê Thị Nhung, Phạm Trung Sản, Nguyễn Hoàng, Trương Anh Khoa, Nguyễn Thu Hiền</i>	
43	Nghiên cứu ảnh hưởng của nồng độ hạt rắn đến độ nhớt chất lỏng từ coban ferit. The effect of particle concentration on the rheological properties of cobalt ferrite ferrofluids.	208
	<i>Đường Hồng Quyên, Nguyễn Minh Tú, Hoàng Thị Kiều Nguyên</i>	
44	Nghiên cứu phân lập và đặc điểm cấu trúc của glycosaminoglycan từ hải sâm <i>Holothuria atra</i> . Isolation and structural characteristics of glycosaminoglycans from sea cucumber <i>Holothuria atra</i> .	213
	<i>Phạm Đức Thịnh, Mai Ngô Thương Hoài, Đinh Thành Trung, Đào Việt Hà, Phạm Trung Sản</i>	
45	Ảnh hưởng của H_3BO_3 và $H_2C_2O_4$ lên độ phát quang của kẽm silicat kích hoạt bởi mangan tổng hợp theo phương pháp phản ứng pha rắn. The effect of H_3BO_3 and $H_2C_2O_4$ on the luminescence of manganese - doped zinc silicate synthesized by the solid - state reaction method.	218
	<i>Nguyễn Thị Thanh, Lê xuân Thành</i>	
46	Tổng hợp cacbon dot huỳnh quang và ứng dụng trong hóa phân tích. Synthesis of fluorescent carbon dots and their sensing applications.	223
	<i>Nguyễn Phúc Thịnh, Trịnh Cảnh Châu, Lê Văn Duy, Nguyễn Ánh Mai</i>	
47	Nghiên cứu dùng xỉ thép lò hồ quang làm nguyên liệu sản xuất Clinker xi măng Pooc lăng. Research using Arc furnace steel slag (AFSS) as raw materials for Portland cement Clinker production.	227
	<i>Đỗ Quang Minh, Nguyễn Văn Tạo, Kiều Đỗ Trung Kiên, Huỳnh Ngọc Minh</i>	
48	Tổng hợp amoni polyphotphat và đánh giá tác dụng chống cháy của nó đối với giấy. Synthesis of ammonium polyphosphate and assessment the flame-retardant effects for paper.	231
	<i>Trần Thị Thịnh, La Thé Vinh, Nguyễn Quang Bắc</i>	
49	Tiềm năng sản xuất biogas từ lá dứa. Potential biogas production from wasted pineapple leaves.	235
	<i>Phan Thị Tuyết Mai, Phạm Thị Hương</i>	
50	Chế tạo, đặc điểm và đánh giá khả năng chống cháy của vật liệu graphen đa lớp bền tính với hợp chất chúa photpho 9,10-dihydro-9-oxa-10-phosphaphenanthrene-10-oxit trên nền vải polyester/cotton Synthesis, characteristic and evaluation of graphene nanoplatelets modified with 9,10-dihydro-9-oxa-10-phosphaphenanthrene-10-oxit as flame retardant for preparation of fire resistance polyester/cotton fabric.	240
	<i>Đoàn Thị Hải, Nguyễn Thị Nhiệm, Đỗ Văn Cường, Trần Quang Vinh</i>	

51	Phương pháp đơn giản tổng hợp keo lignin-phenol-formaldehyde sử dụng lignin thu hồi từ dịch đen quá trình tiền xử lý rơm rạ bằng kiềm.	245
	Simple Method of Lignin-phenol-formaldehyde Adhesive Synthesis Based on Recovered Lignin from Black Liquor of Alkaline Rice Straw Pretreatment.	
	<i>Nguyễn Thị Minh Phương, Doãn Thái Hòa</i>	
52	Đặc trưng tính chất và khả năng chống cháy của tổ hợp vật liệu trên cơ sở polyetylen, nhôm hydroxit và amoni polyphosphate.	250
	Characteristics and flame resistance of material based on low-density polyethylene, aluminum hydroxide and ammonium polyphosphate.	
	<i>Hoàng Thị Phương, Nguyễn Văn Khôi, Trần Vũ Thắng, Nguyễn Thị Thúy, Đỗ Công Hoan, Trịnh Đức Công</i>	
53	Nghiên cứu ảnh hưởng của nanosilica biến tính và chất đòn khâu mạng EGDM đến tính chất cơ lý và khả năng chống rung của cao su blend NR/SBR.	255
	Study on the effect of modified nanosilica and EGDM cross-linking agent on mechanical properties and anti-vibration ability of NR/SBR blend.	
	<i>Lê Ngọc Tú, Chu Chiến Hữu, Nguyễn Huy Trường, Nguyễn Thúy Chinh</i>	
54	Nghiên cứu tổng hợp tinh thể nano xenlulozo từ phế thải nông nghiệp bã mía.	261
	Study on preparation of nanocrystal cellulose from agriculture waste sugar cane bagasse.	
	<i>Trần Thị Thành Hợp, Phạm Tùng Sơn, Đặng Thị Mai, Ngô Trịnh Tùng, Nguyễn Đình Thành</i>	
55	Nghiên cứu khả năng nhũ tương hóa của mực in offset tờ rời và dung dịch ẩm không sử dụng cồn IPA.	266
	Studying on the water pick-up characteristics of color offset printing inks and fountain solution without IPA.	
	<i>Phùng Anh Tuân, Phạm Thị Hồng Chiểu, Nguyễn Hà Anh</i>	
56	Nghiên cứu khả năng chống cháy của diphosphonic-borat trên nền nhựa EVA.	271
	Preparation of diphosphonic-borat and its flameproof to ethylene-vinyl acetate (EVA).	
	<i>Phan Thị Thảo Trinh, Nguyễn Kim Hưng, Nguyễn Công Tráng</i>	
57	Tính chất chậm cháy và độ bền nén của nanocomposit nanoclay/amoni polyphosphate/polyurethane.	276
	Flame retardant property and compressive strength of nanoclay/ammonium polyphosphate/polyurethane nanocomposites.	
	<i>Hà Thị Nhưng, Hoàng Mai Hà</i>	
58	Tổng hợp dẫn xuất mono-6-amino-6-deoxy- β -cyclodextrin ứng dụng trong điều chế nano vàng.	281
	Synthesis of mono-6-amino-6-deoxy- β -cyclodextrin derivatives for application in gold nanoparticles.	
	<i>Nguyễn Cao Hiền, Trần Minh Trọng, Lục Văn Siêu, Nguyễn Thành Danh, Đặng Chí Hiền</i>	
59	Khảo sát khả năng hình thành acrylamid trong một số nền mẫu khoai trên thị trường Việt Nam dưới tác dụng nhiệt dựa trên phương pháp phân tích acrylamid bằng LC-MS/MS.	287
	Investigation on the possibility of acrylamide thermal formation in some potato samples from Vietnam market based on acrylamide analysis by LC-MS/MS.	
	<i>Vương Quang Huy, Lê Quang Hoàng Hạnh, Diệp Ngọc Sương, Phạm Thị Ánh, Chu Phạm Ngọc Sơn</i>	

60	Nghiên cứu ảnh hưởng của một số chất phối hợp đến độ bám dính cao su tự nhiên – thép. Study on the effect of vulcanization agents on the natural rubber - steel adhesion.	295
	<i>Đặng Việt Hưng, Nguyễn Trọng Quang, Bùi Chương, Trần Trung Lê, Nguyễn Thiên Vương</i>	
61	Study on the effect of accelerator combination (D, DM, M) on properties of NR vucanizates. Nghiên cứu ảnh hưởng sử dụng phối hợp xúc tiến (D, DM, M) đến một số tính chất cao su thiên nhiên.	299
	<i>Nguyễn Trọng Quang, Đặng Việt Hưng, Bùi Chương, Trần Trung Lê, Nguyễn Thiên Vương</i>	
62	Tổng hợp cao su thiên nhiên lỏng epoxi hóa và ứng dụng làm keo dán. Synthesis of liquid epoxidized natural rubber and adhesive application.	306
	<i>Phạm Như Hoàn, Nguyễn Việt Bắc</i>	
63	Ứng dụng cao su thiên nhiên lỏng epoxy hóa làm chất tương hợp hệ cao su blend nitril và cao su thiên nhiên. Application of liquid epoxidized natural rubber as compatibilizer for natural rubber/nitrile rubber blend.	311
	<i>Phạm Như Hoàn, Nguyễn Việt Bắc</i>	
64	Nghiên cứu tách chiết và hoạt tính sinh học của adenosine, cordycepin từ nấm <i>Cordyceps militaris</i> . Purification and biological activity of adenosine, cordycepin from fruit body of <i>Cordyceps militaris</i> .	316
	<i>Trịnh Đức Hoành, Vũ Duy Nhàn, Vũ Văn Dũng, Nguyễn Thị Nhàn, Trần Thị Nguyệt, Nguyễn Thị Ngoan, Lê Đức Anh, Lưu Văn Chính, Vũ Thị Hà, Lê Mai Hương, Trần Hồng Hà, Nguyễn Đức Doan</i>	
65	Nghiên cứu ảnh hưởng hàm lượng xúc tác và điều kiện phản ứng đến phản ứng amin hóa dầu hạt cao su đã clo hóa bằng diethyl amine. Study on ratio of catalysis and reaction conditions for chlorinated rubber seed oil amine by diethyl amine.	321
	<i>Trần Vũ Thắng, Hoàng Thị Phương, Nguyễn Văn Khôi, Nguyễn Thị Minh Phương, Phạm Thành Sơn, Lê Thị Băng</i>	
66	Xác định cấu trúc và hoạt tính kháng khuẩn của sulfated polysaccharide tách chiết từ rong nâu <i>sargassum crassifolium</i> ở Khánh Hòa. Structural determination and antibacterial activity of sulfated polysaccharide extracted from brown seaweed <i>sargassum crassifolium</i> in Khanh Hoa province.	325
	<i>Bùi Văn Nguyên, Lê Công Hoan, Thành Thị Thu Thủy, Nguyễn Quyết Chiến, Trần Thị Thanh Vân</i>	
67	Synthesis and structure of {2}-metallacoronate {K ⊂ [Cu ₂ (L) ₂])(ClO ₄) assembled from a catechol-centered arylbis(N,N-diethylthiourea).	330
	<i>Le Thi Y Trang, Hoang Thi Huong Hue, Pham Thi Ngoc Oanh, Vu Thi Bich Ngoc, Pham Chien Thang</i>	
68	Cytotoxic constituents of the fruit bodies of <i>Phellinus baumii</i> collected in Nghe An province.	355
	<i>Nguyen Thanh Trung, Do Xuan Hung, Tran Dinh Thang, Nguyen Tan Thanh, Dang Ngoc Quang</i>	

69	Effect of ultrasonication time and PEG content on the crystallite size and lattice parameter of polyethylene glycol (PEG)-coated Fe ₃ O ₄ nanoparticles synthesized by a ultrasound assiste co-precipitation process.	340
	<i>Nguyen Thi Huong, Le Ngoc Thuy Trang, Cong Tien Dung, Nguyen Ngoc Son, Nguyen Duy Anh, Dao The Nam, Vu Minh Thanh</i>	
70	Effect of calcium chloride concentration on characteristics and drug release of alginate/chitosan/ginsenoside Rb1/lovastatin composite particles.	347
	<i>Thach Thi Loc, Nguyen Thuy Chinh, Vu Thi Diu, Le Duc Giang, Ha Van Hang, Thai Hoang</i>	
71	Study on fabrication and colloidal stability of magnetic cobalt ferrite-based nanofluids for magnetic resonance T2-imaging (MRI).	354
	<i>Le The Tam, Nguyen Thi Ngoc Linh, Nguyen Hoa Du, Phan Thi Hong Tuyet, Ho Dinh Quang, Le Thi Thu Hiep, Nguyen Thien Vuong, Le Trong Lu, Tran Dai Lam</i>	
72	Influence of black seed oil modified epoxy resin and polyisocyanate ratios on curing process and properties of cured coatings.	361
	<i>Do Minh Thanh, Nguyen Anh Hiep, Do Dang Xuan, Dam Xuan Thang</i>	
73	Modified iron oxide nanoparticles with polyethylene glycol and citric acid for biomedical applications.	365
	<i>Vu Minh Thanh, Dao The Nam, Pham Thi Phuong, Pham Tuan Anh, Cong Tien Dung, Luu Thi Dung, Nguyen Ngoc Son, Nguyen Thi Huong</i>	
74	Preparation of some new benzofuran-involving 1,3,4-oxadiazole and 2-oxo-4-thioxothiazolidine derivatives.	373
	<i>Mai Ngoc Han, Pham Truong Cong Thanh, Nguyen Trung Minh, Truong Thien Trinh, Pham Ngoc Nam, Nguyen Kim Phi Phung, Nguyen Tan Tai</i>	
75	First results on phytochemistry study of <i>Impatiens claviger</i> Hook. F. collected in Me Linh, Hanoi, Viet Nam.	379
	<i>Nguyen Thi Hoang Anh, Dao Duc Thien, Nguyen Thanh Tam, Trinh Thi Thuy, Tran Duc Quan, Dinh Gia Thien</i>	

